

التوصية 2 ITU-R M.1642

**منهجية تقييم كثافة تدفق القدرة المكافئة المجمعة القصوى
عند محطة خدمة الملاحة الراديوية للطيران تنتجهما جميع أنظمة خدمة الملاحة
الراديوية الساتلية العاملة في النطاق MHz 1 215-1 164**

(2007-2005-2003)

مجال التطبيق

تحتوي هذه التوصية على منهجية وخصائص الموائي المرجعي لتقدير كثافة تدفق القدرة المكافئة (epfd) المجمعة القصوى المنتجة عند دخول محطة الملاحة الراديوية للطيران (ARNS) بواسطة كافة أنظمة خدمة الملاحة الراديوية الساتلية (RNSS) العاملة في أي جزء من النطاق MHz 1 215-1 164.

إن جمعية الاتصالات الراديوية للاتحاد الدولي للاتصالات،

إذ تضع في اعتبارها

أ) أنه وفقاً للوائح الراديو (RR)، يوزع النطاق MHz 1 215-960 على أساس أولي على خدمة الملاحة الراديوية للطيران (ARNS) في كافة أقاليم الاتحاد الدولي للاتصالات؛

ب) أن التحليلات قد أظهرت أنه يمكن توليد إشارات خدمة الملاحة الراديوية الساتلية (RNSS) في النطاق MHz 1 215-1 164 بحيث لا تسبب أي تداخل لمستقبلات معدات قياس المسافة (DME)/نظام الملاحة الجوية التكتيكية (TACAN) لخدمة الملاحة الراديوية الساتلية (RNSS)، العاملة في هذا النطاق؛

ج) أنه قد تم وضع معيار حماية لمحطة خدمة الملاحة الراديوية للطيران يعبر عنه في شكل كثافة تدفق القدرة المكافئة، كما ورد بيانها في التوصية 1639 ITU-R M.1639،

يسسلم بما يلى

أ) أن المؤتمر WRC-2000 قد وزع على أساس أولي مشترك النطاق MHz 1 215-1 164 لخدمة الملاحة الراديوية الساتلية (RNSS) شريطة التقييد بالشروط التي تقتضي من هذه الخدمة (RNSS) حماية خدمة الملاحة الراديوية للطيران (ARNS) من التداخل الضار؛

ب) أن المؤتمر WRC-03 أكد أنه يمكن حماية الخدمة ARNS من الخدمة RNSS إذا كانت قيمة كثافة تدفق القدرة المكافئة (epfd) التي تنتجهما جميع الحطامات الفضائية لأنظمة الخدمة RNSS (فضاء - أرض) في النطاق MHz 1 215-1 164 لا تتجاوز $121,5 \text{ dB(W/m}^2\text{)}$ في أي نطاق يبلغ 1 MHz، وأنها اعتمدت القرار (WRC-03) 609 لضمان عدم تجاوز هذه السوية؛

ج) أن ARNS تمثل خدمة أمن وفقاً للرقم 59.1 من لوائح الراديو، وأنه ينبغي اتخاذ تدابير من طرف الإدارات لحماية هذه الخدمات، وفقاً لأحكام الرقم 10.4 من لوائح الراديو؛

توصي

1 بضرورة استعمال المنهجية الواردة في الملحق 1 وخصائص الخدمة ARNS المرجعية الواردة في الملحق 2 لحساب الكثافة epfd المجمعة القصوى التي تنتجهما الإرسالات الصادرة عن كافة أنظمة RNSS عند أي محطة للملاحة الراديوية للطيران.

الملحق 1

منهجية تقييم الكثافة epfd المجمعة القصوى المنتجة عند محطة ARNS بواسطة جميع أنظمة RNSS العاملة في النطاق MHz 1 215-1 164

ملخص المنهجية

إن من الممكن، بفضل الطريقة الوارد بيانها في هذا الملحق، حساب سوية الكثافة epfd المجمعة القصوى في جميع أنظمة RNSS في النطاق MHz 1 215-1 164.

وتسمح هذه الطريقة بالجمع بين مختلف الأنظمة بسهولة، بحيث يمكن على سبيل المثال النظر في تأثير التغيرات الناشئة عن إدخال واستبعاد نظام أو عدة أنظمة أو تأثير تغيير خصائص أنظمة محددة، خلال اجتماع استشاري.

وتنطبق هذه الطريقة على كل الأنظمة غير المستقرة بالنسبة إلى الأرض (non-GSO) التي تتكون من كواكب ساتلية توجد على مدارات دائرية مختلفة الميل، والأنظمة المستقرة بالنسبة إلى الأرض (GSO).

وتنقسم هذه الطريقة إلى مرحلتين:

المرحلة 1: حساب الكثافة epfd لكل نظام من أنظمة RNSS. ويمكن أداء هذه المرحلة من طرف أي مشغل بصفة مستقلة قبل الاجتماع الاستشاري، بشرط أن تقدم النتائج في نسق متلائم مع المواصفات (انظر الفقرة 3.1 فيما يتعلق بالأنظمة non-GSO، والفقرة 4.1 فيما يتعلق بالأنظمة GSO).

المرحلة 2: تجميع أقصى كثافة epfd لكل نظام من الأنظمة، من خلال تراكب خرائط الكثافة epfd، عند ترددات مختلفة إذا دعت الحاجة إلى ذلك، للحصول على أقصى كثافة epfd مجمعة (انظر الفقرة 2) في النطاق MHz 1 215-1 164.

وصف الطريقة

1 طريقة حساب قيمة الكثافة epfd القصوى الناتجة عن سواتل نظام RNSS واحد

1.1 تعريف الكثافة epfd

يستند تعريف كثافة تدفق القدرة المكافحة (epfd) إلى الرقم 1.5C.22 من لوائح الراديو كما أقره المؤتمر WRC-2000. عندما يستقبل المهاوي، في عرض نطاقه المرجعي، قدرة صادرة في آن معًا عن أجهزة إرسال توجد على مسافات مختلفة، وفي اتجاهات مختلفة عند سويات مختلفة للكثافة pfd العارضة، تعادل الكثافة epfd الكثافة pfd التي، لو تم استقبالها من مرسل واحد في الحال البعيد للهواي في اتجاه الكسب الأقصى، تنتج نفس القدرة عند دخول المستقبل كما يتم استقبالها فعلياً من مختلف أجهزة الإرسال المجمعة.

وتحسب الكثافة epfd الآنية باستعمال الصيغة التالية:

$$epfd = 10 \log_{10} \left[\sum_{i=1}^{N_a} \frac{P_i}{4\pi d_i^2} \cdot \frac{G_t(\theta_i)}{G_r, max} \cdot \frac{G_r(\phi_i)}{G_r, max} \right]$$

حيث تمثل:

عدد المحطات الفضائية التي يمكن رؤيتها انطلاقاً من المستقبل: N_a

دليل المخطة الفضائية المعنية: i

قدرة التردد الراديوی RF (في عرض النطاق المرجعي) عند دخل الموائي (أو القدرة RF المشعة في حالة الموائي النشيط) لخطة الإرسال الفضائية (P_i dB(W/MHz)).
زاوية الانحراف عن المحور الرئيسي (بالدرجات) بين اتجاه التسديد لخطة الإرسال الفضائية واتجاه المستقبل (بالدرجات) (θ_i)
كسب هوائي الإرسال (في شكل نسبة) للمحطة الفضائية في اتجاه المستقبل ($G_i(\theta_i)$) المسافة (m) بين محطة الإرسال والمستقبل (d_i)
زاوية الانحراف عن المحور الرئيسي (بالدرجات) بين موجه التسديد للمستقبل واتجاه محطة الإرسال (بالدرجات) (ϕ_i)
كسب هوائي الاستقبال (في شكل نسبة) للمحطة الفضائية (انظر الملحق 2) ($G_r(\phi_i)$) الكسب الأقصى للمستقبل (في شكل نسبة) ($G_{r,max}$)
كثافة تدفق القدرة المكافحة الآتية ($epfd$ dB(W/(m ² · MHz))) عند المستقبل.

الملاحظة 1 - يفترض أن يقع كل مرسل في المجال البعيد للمستقبل (أي على مسافة تتجاوز $2D^2/\lambda$ ، حيث تمثل D القطر الحقيقي لموائي المستقبل وتمثل λ طول موجة الملاحظة في نفس الوحدة). وتتحقق هذه الفرضية دائمًا في الحالة قيد النظر.

2.1 اعتبارات عامة

تحسب في الخطوة الأولى من الطريقة، القيمة القصوى للكثافة $epfd$ التي تتبعها كل كوكبة سواتل RNSS بالنسبة إلى كل درجة من درجات خط العرض وخط الطول على محمل مساحة الأرض بالنسبة إلى كل عرض نطاق يبلغ 1 MHz يشغله النظام.

ونظراً إلى أن المستقبل ARNS الذي لقى التداخل قد تحمله طائرة تحلق على ارتفاع قد يصل 40 000 قدم (192 12 متراً) (انظر الفقرة 2 من الملحق 2)، ينبغي أن يشمل الحساب كافة السواتل بزوايا ارتفاع تتراوح بين 90° و-3,54°.

ويُعد حساب توزيع $epfd$ الخاص بكل نظام ضروريًا عند تردد مرجعي واحد، ومن الأفضل أن يكون عند التردد الذي تبلغ عنه قدرة الإشارة الحد الأقصى. وينبغي تقديم الشكل الطيفي للإشارة RNSS خلال اجتماع استشاري، بحيث يمكن عندئذ ضرب نتائج الحساب في عوامل تشكيل الطيف المناسبة للحصول على النتائج عند أي تردد آخر.

3.1 طريقة حساب أقصى كثافة $epfd$ بالنسبة إلى نظام non-GSO RNSS

يمكن لهذا الغرض استعمال منهجية المحاكاة الواردة في التذييل 1 بالملحق 1، التي تستند بالكامل إلى التوصية ITU-R S.1325. وتستند الطريقة الواردة في التذييل 2 بالملحق 1 بالكامل إلى تقنية تحليلية. ويمكن استعمال هذه الطريقة للحصول على تقديرات سريعة ولكنها لا تؤدي إلى الحصول على القيمة الصحيحة للحد الأعلى.

4.1 طريقة حساب أقصى كثافة $epfd$ بالنسبة إلى نظام GSO RNSS

يتعين حساب أقصى $epfd$ بالنسبة إلى كل ساتل GSO عند كل خطوط العرض والطول على كل مساحة الأرض بالنسبة إلى كل طيف (عرض نطاق) 1 MHz يشغله النظام.

وفي الحالة التي لا تعتمد فيها $epfd$ على الوقت، يمكن حساب جدول واحد من النتائج مباشرة.

طريقة حساب أقصى epfd المجمعـة التي تنتـجها كـافة الأنظـمة RNSS 2

1.2 معطيات يُحتاج إليها بالنسبة إلى كل نظام

تبعاً للمنهجية التي ورد ذكرها في الفقرة 3.1، سيقدم كل نظام من الأنظمة non-GSO RNSS بدون فترة تزامن مع الأرض، في الاجتماع الاستشاري، قائمة بأقصى قيم epfd بحسب خط العرض (تطبق على كافة خطوط العرض) وشكل طيف الإشارة.

وبعـاً للمنهجـية التي ورد ذكرـها في الفقرـة 3.1، سيقدم كل نظام من الأنظـمة non-GSO RNSS التي توافـر لها فـترة تـزامـن مع الأرضـ، في الاجتماعـ الاستـشارـيـ، جـدولـاً بأـقصـىـ قـيمـ epfdـ بـحسبـ خـطـ العـرـضـ وـطـلـوـ وـشـكـلـ طـيـفـ الإـشـارـةـ.

وبـعاً للمنهجـية التي ورد ذـكرـها في الفقرـة 4.1، سيـقدمـ كلـ نظامـ منـ الأـنظـمـةـ RNSSـ GSOـ، فيـ الاجتماعـ الاستـشارـيـ، جـدولـاًـ بأـقصـىـ قـيمـ epfdـ بـحسبـ خـطـ العـرـضـ وـطـلـوـ وـشـكـلـ طـيـفـ الإـشـارـةـ.

2.2 تجميع الكثافات epfd التي تنتـجـهاـ أنـظـمـةـ تستـخدـمـ إـشـارـاتـ ذاتـ خـصـائـصـ مـمـاثـلةـ

يمـكـنـ الحصولـ عـلـىـ قـيمـ epfdـ المـجمـعـةـ لـلـأـنظـمـةـ RNSSـ ذاتـ التـرـددـ المشـابـهـ فيماـ يـتـعلـقـ بـأـقصـىـ إـشـارـةـ الطـيـفـ عـلـىـ ثـلـاثـ مـراـحلـ:

المرحلة 1 (أ) : جـمعـ منـ نقطـةـ إـلـىـ نقطـةـ لأـقصـىـ قـيمـ epfdـ فيـ عـرـضـ النـطـاقـ 1~MHzـ حيثـ تـمـلـكـ الإـشـارـةـ أـقصـىـ قـدرـةـ عـنـدـ كـلـ خطـ عـرـضـ بـالـنـسـبـةـ إـلـىـ جـمـيعـ قـوـائـمـ non-GSOـ (بدـونـ فـترـةـ تـزـامـنـ معـ الـأـرـضـ)ـ لـلـحـصـولـ عـلـىـ قـائـمـةـ قـيمـ epfdـ (بدـونـ فـترـةـ تـزـامـنـ معـ الـأـرـضـ)ـ التيـ تـنـتـجـهاـ الأـنظـمـةـ non-GSOـ بـحسبـ خـطـ العـرـضـ؛

المرحلة 1 (ب) : جـمعـ منـ نقطـةـ إـلـىـ نقطـةـ لأـقصـىـ قـيمـ epfdـ فيـ عـرـضـ النـطـاقـ 1~MHzـ حيثـ تـمـلـكـ الإـشـارـةـ أـقصـىـ قـدرـةـ عـنـدـ كـلـ خطـ عـرـضـ وـخـطـ طـوـلـ بـالـنـسـبـةـ إـلـىـ جـمـيعـ قـوـائـمـ non-GSOـ (بـفترـةـ تـزـامـنـ معـ الـأـرـضـ)ـ لـلـحـصـولـ عـلـىـ قـائـمـةـ قـيمـ epfdـ (بـفترـةـ تـزـامـنـ معـ الـأـرـضـ)ـ التيـ تـنـتـجـهاـ الأـنظـمـةـ non-GSOـ بـحسبـ خـطـ العـرـضـ وـخـطـ الطـوـلـ؛

المرحلة 2 : جـمعـ منـ نقطـةـ إـلـىـ نقطـةـ لأـقصـىـ قـيمـ epfdـ فيـ عـرـضـ النـطـاقـ 1~MHzـ حيثـ تـمـلـكـ الإـشـارـةـ أـقصـىـ قـدرـةـ عـنـدـ كـلـ خطـ عـرـضـ وـخـطـ طـوـلـ بـالـنـسـبـةـ إـلـىـ جـمـيعـ الجـداـولـ GSOـ لـلـحـصـولـ عـلـىـ جـدـولـ قـيمـ epfdـ المـجمـعـةـ التيـ تـنـتـجـهاـ الأـنظـمـةـ GSOـ بـحسبـ خـطـ العـرـضـ وـخـطـ الطـوـلـ؛

المرحلة 3 : جـمعـ منـ نقطـةـ إـلـىـ نقطـةـ لأـقصـىـ قـيمـ epfdـ المـجمـعـةـ التيـ تـنـتـجـهاـ الأـنظـمـةـ non-GSOـ (بدـونـ فـترـةـ تـزـامـنـ معـ الـأـرـضـ)ـ بـحسبـ خطـ العـرـضـ وـقـائـمـةـ قـيمـ epfdـ المـجمـعـةـ التيـ تـنـتـجـهاـ non-GSOـ (بـفترـةـ تـزـامـنـ معـ الـأـرـضـ)ـ بـحسبـ خـطـ العـرـضـ وـخـطـ الطـوـلـ بـأـعـمـدةـ خـطـوطـ الطـوـلـ بـجـدـولـ قـيمـ epfdـ المـجمـعـةـ التيـ تـنـتـجـهاـ أـنظـمـةـ GSOـ بـحسبـ خـطـ العـرـضـ وـخـطـ الطـوـلـ لـلـحـصـولـ عـلـىـ جـدـولـ الـقـيمـ الإـجمـالـيةـ لـلـقـدرـةـ epfdـ بـحسبـ خـطـ العـرـضـ وـخـطـ الطـوـلـ.

وـمـنـ شـأنـ تـحـلـيلـ قـيمـ epfdـ الأـعـلـىـ الـوارـدـةـ فيـ هـذـاـ جـدـولـ أـنـ تـكـشـفـ عـمـاـ إـذـاـ كـانـ قدـ روـعـيـ أـمـ لاـ مـعيـارـ الحـمـاـيـةـ فيـ التـوـصـيـةـ .MHzـ فيـ أيـ عـرـضـ نـطـاقـ 1ـ ITU-R M.1639ـ

3.2 تجميع الكثافات epfd التي تنتـجـهاـ أنـظـمـةـ تستـخدـمـ إـشـارـاتـ ذاتـ خـصـائـصـ مـخـتـلـفةـ

تجـدرـ الإـشـارـةـ إـلـىـ أـنـ قـيمـ epfdـ القـصـوـىـ المـجمـعـةـ سـتـعـنـدـ عـلـىـ التـرـددـ.ـ ويـكـفـيـ إـجـراءـ تـحـلـيلـ وـاحـدـ،ـ إـذـاـ كـانـ لـكـلـ أـطـيـافـ جـمـيعـ الأـنظـمـةـ RNSSـ،ـ الـيـ هيـ قـيدـ الـدـرـاسـةـ،ـ قـيمـ قـصـوـىـ عـنـدـ نـفـسـ التـرـددـ.ـ وـفـيـ الـمـقـابـلـ،ـ إـذـاـ كـانـ لـبعـضـ الأـنظـمـةـ مـخـتـلـفةـ قـيمـ قـصـوـىـ مـخـتـلـفةـ،ـ سـوـاءـ لـأـنـمـاـ تـسـتـعـمـلـ تـرـددـاتـ مـرـكـزـيةـ مـخـتـلـفةـ مـعـ تـدـاخـلـ الأـطـيـافـ أوـ لـأـنـمـاـ تـسـتـعـمـلـ تقـنيـاتـ تـشـكـيلـ مـخـتـلـفةـ،ـ عـنـدـ يـسـتـدـعـيـ تـحـلـيلـ قـيمـ epfdـ القـصـوـىـ المـجمـعـةـ مـرـاعـاهـ التـرـددـاتـ.

ويـسـتـدـعـيـ تحـدـيدـ قـيمـ epfdـ المـجمـعـةـ القـصـوـىـ لـلـأـنظـمـةـ RNSSـ ذاتـ التـرـددـاتـ المـرـكـزـيةـ المـخـتـلـفةـ،ـ عـلـىـ الـأـقـلـ،ـ أـداءـ الـخـطـوـاتـ الـثـلـاثـ الـوـارـدـةـ أـعـلـاهـ عـنـدـ كـلـ تـرـددـ يـقـدـمـ عـنـدـ نـظـامـ وـاحـدـ الـقـيمـ القـصـوـىـ لـطـيفـهـ،ـ وـقـدـ يـسـتـدـعـيـ أـيـضاـ تـحـلـيلـاـ عـنـدـ التـرـددـاتـ الـوـسـيـطـةـ.

وسيتم تغيير القوائم أو الجداول الخاصة بكل تردد من خلال عامل تشكيل الطيف المناسب قبل الجمع مع قوائم وجدائل أخرى.

ومن شأن تحليل قيمة epfd الأعلى الواردة في جميع الجداول التي تم الحصول عليها أن تكشف عما إذا كان قد روعي أم لا، معيار الحماية الوارد في التوصية ITU-R M.1639 في أي عرض نطاق يبلغ 1 MHz.

4.2 التحقق من النتائج

بعد تحديد قيمة epfd المجمعة القصوى، يمكن إجراء محاكاة واحدة آنية لكافية الأنظمة RNSS عند موقع المخطة ARNS التي تم عندها تحديد قيمة epfd المجمعة القصوى المطلقة، لإثبات صحة النتائج التي تم الحصول عليها باستعمال التذيل 1 أو 2 بالملحق 1.

التجزئي 1 للملحق 1

منهجية محاكاة لتحديد قيمة epfd القصوى فيما يتعلق بالنظام non-GSO RNSS

1 وصف طريقة المحاكاة

يهدف إطار هذه المنهجية التي تستند إلى التوصية ITU-R S.1325، إلى نبذة كافة سواتل نظام RNSS عند تردد مرجعي محدد (عادة الجزء 1 MHz من عرض النطاق 164-215 MHz) مصحوباً بالكثافة الطيفية القصوى لإشارة (RNSS). وقد تم اعتبار محاكاة الكوكبة على فترة زمنية ذات معدلات صغيرة نسبياً. وعند كل اعتبار، يجري حساب قيمة epfd بالنسبة إلى جميع نقاط خط العرض وخط الطول. ويمكن إغفال القيم الأخرى. وتكون النتيجة عبارة عن جدول، يمكن تمثيله على شكل خارطة كما يتضح في الشكلين 5 و6. وبعد ذلك، تحدد قيمة epfd القصوى بالنسبة إلى كل خط عرض، وهو ما يسمح بحذف القيم التقريرية الناتجة عن المدة المحددة للمحاكاة.

2 فرضيات المحاكاة

1.2 النموذج المداري

تعلق النماذج المدارية المخصصة لمحاكاة المخططات الفضائية في مدارها، بالمدارات الدائرية والإهليلجية ولا تأخذ في الاعتبار إلا الحركة البدارية لخط العقد في المستوى الاستوائي بسبب الطابع اللادائري للأرض.

ويمثل النموذج المداري حركة السائل في إحداثيات عطالة مركز الأرض للشكل 1. ويرجع مصدر إحداثيات العطالة هذه إلى مركز الأرض. ويشير المحور-x إلى اتجاه كوكبة أries (أي الاعتدال الربيعي (vernal equinox)، ويوجه المحور-z بعثور الدوران المتوسط للأرض ويمثل المحور-y الناتج الإجمالي لمتجهات الوحدات في الاتجاهين z وx (أي $\bar{x} \times \bar{z} = \bar{y}$).

وتستند النماذج المدارية إلى معادلة نيوتن (Newton) التي تخص حركة سائل في مدار دائري تماماً حول دائرة وإهليلج. وبالنسبة لنظام non-GSO يستخدم مداراً دائرياً تسهل نبذة هذه الحركة لأن نصف قطر المدار وسرعة السائل يعادان من الثوابت.

1.1.2 ثوابت تتعلق بالأرض

تتمثل الثوابت العامة بالنسبة إلى الأرض فيما يلي:

- (km 6378,137): نصف قطر الأرض (R_e)
- : مركز الأرض (O)
- : ثابت جاذبية الأرض (μ) ($\text{km}^3/\text{s}^2 3,986005 \times 10^5$)
- : ثابت الثانية المتناغمة لكترون الأرض (J_2) ($1 082,63 \times 10^{-6}$)
- : مدة دوران الأرض (T_e) ($23 \text{ h } 56' 4,0989'' = 86 164,0989 \text{ s}$)
- : السرعة الزاوية لدوران الأرض ($2\pi/T_e \cong 7,2921151467 \times 10^{-5} \text{ rad/s}$)
- : الوقت المنقضي (s) منذ الفترة (الفترات) التي تمت محاكمتها. (t)

2.1.2 ثوابت تخص محطات فضائية لنظام ساتلي Non-GSO

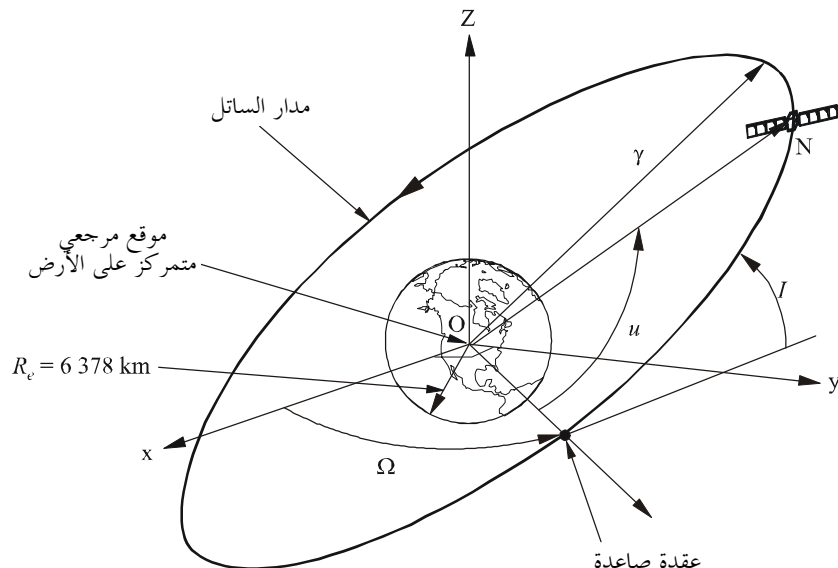
تتمثل الثوابت المتعلقة بالمحطات الفضائية لنظام ساتلي non-GSO بستخدام مدارات دائيرية (انظر الشكل 1) فيما يلي:

- : عدد المحطات الفضائية لنظام non-GSO (N)
- : دالة السواتل non-GSO (i) ($0 \leq i < N$)
- : ارتفاع الساتل فوق الأرض (km) (h_{sat})
- : نصف قطر مدار الساتل (km) ($r = h_{sat} + R_e$)
- : زاوية ميل مستوى المدار فوق خط الاستواء (rad) (I)
- : طالع مستقيم للعقدة الصاعدة (RAAN)
- : زاوية RAAN للسوائل- i في النظام non-GSO عند الوقت t (rad) ($\Omega_{i,0}$)
- : زاوية العرض للسوائل- i في النظام non-GSO عند الوقت t (rad) ($u_{i,0}$)
- : الفترة المدارية للسوائل (T) ($2\pi (r^3/\mu)^{1/2} = T$)
- : متوسط حركة الساتل (n) ($2\pi/T = n$)
- : زاوية العرض للسوائل- i عند وقت الحساب ($u_{i,t}$) ($t(\text{rad}) = u_{i,0} + n_t t$)
- : ارتداد عقدي للعقدة الصاعدة (Ω_r)

$$= -\frac{3}{2} J_2 \cos(I) R_e^2 \frac{\sqrt{r\mu}}{r^4}$$
- : زاوية RAAN للسوائل- i عند وقت الحساب ($\Omega_{i,t}$) ($t(\text{rad}) = \Omega_{i,0} + \Omega_r t$)
- : متوجهة إحداثيات (نظام إحداثيات بالعطلة) ساتل non-GSO في رتل إحداثيات ثابت بالنسبة إلى مركز الأرض: (\vec{ON}_i)

$$\vec{ON}_i = \begin{bmatrix} x_i \\ y_i \\ z_i \end{bmatrix} = r \begin{bmatrix} \cos(u_{i,t}) \cdot \cos(\Omega_{i,t}) - \cos(I) \cdot \sin(u_{i,t}) \cdot \sin(\Omega_{i,t}) \\ \cos(u_{i,t}) \cdot \sin(\Omega_{i,t}) + \cos(I) \cdot \sin(u_{i,t}) \cdot \cos(\Omega_{i,t}) \\ \sin(u_{i,t}) \cdot \sin(I) \end{bmatrix}$$

الشكل 1
المعلمات الهندسية للمدار الدائري



محور شبه رئيسي : γ
البعد الزاوي لخط عرض الساتل : u
 I : زاوية الميل
الصعود المستقيم للعقدة الصاعدة (RAAN)
 Ω : (RAAN)

1642-01

بالنسبة إلى الخطط الفضائية للنظام الساتلي non-GSO التي تستخدم مدارات إهليلجية (انظر الشكلين 2 و3)، تكون الثوابت كما يلي:

N : عدد الخطط الفضائية للنظام non-GSO

i : دليل لكل ساتل من سواتل النظام non-GSO ($0 \leq i < N$)

a_i : محور شبه رئيسي للساتل- i (km)

e_i : لا تمركزية الساتل- i (km)

$M_{i,0}$: متوسط الابتعاد المداري للساتل- i في النظام non-GSO عند الوقت المبدئي (rad)

T_i : الفترة المدارية للساتل (السوائل)- i = $2\pi(a_i^3/\mu)^{1/2}$

n_i : متوسط حركة الساتل- i = $2\pi/T_i$ = (rad/s)

$t = 2 \cdot \tan^{-1} \left[\sqrt{\frac{1+e_i}{1-e_i}} \tan \frac{E_{i,t}}{2} \right]$: الابتعاد المداري الحقيقي للساتل- i عند الوقت $v_{i,t}$

$t = 2 \cdot \tan^{-1} \left[\sqrt{\frac{1-e_i}{1+e_i}} \tan \left(\frac{v_{i,t}}{2} \right) \right]$: الابتعاد المداري الشاذ للساتل- i عند الوقت $E_{i,t}$

$M_{i,t} = M_{i,0} + n_i \cdot t = E_{i,t} - e_i \cdot \sin E_{i,t}$: متوسط الابتعاد المداري للساتل- i عند الوقت $M_{i,t}$

* عندما تعطى القيمة $M_{i,t}$ ، تحدد $E_{i,t}$ بالتجرار، وعادة فيما يتعلق بالخطوطات قصيرة الزمن، يمكن أن تُستخدم القيمة الأخيرة للقيمة $E_{i,t}$ كتقدير أولي.

I_i : زاوية ميل السطح المداري فوق خط الاستواء للساتل- i (rad)

RAAN: الصعود المستقيم للعقدة الصاعدة

$\Omega_{i,0}$ (rad): الصعود المستقيم للعقدة الصاعدة لكل ساتل من السواتل- i في النظام non-GSO عند الوقت المبدئي

$\omega_{i,0}$: زاوية الخضيض لكل ساتل من سواتل- i في النظام non-GSO عند الوقت المبدئي (rad)

$u_{i,t}$: الارتفاع الزاوي لخط عرض الساتل- i عند الوقت t (rad) = $\omega_{i,0} + v_{i,t}$

Ω_{ri} : الرجوع العقدي للعقدة الصاعدة للساتل- i (rad/s)

$$= -\frac{3}{2} J_2 \cos(I_i) R_e^2 \frac{\sqrt{a_i \mu}}{a_i^4 (1-e_i^2)^2}$$

$\Omega_{i,t}$: الصعود المستقيم للعقدة الصاعدة للساتل- i عند الوقت t (rad) = $\Omega_{i,0} + \Omega_{ri} t$

$\vec{ON}_{i,t}$: متجه الإحداثيات (نظام إحداثيات العطبال) للساتل- i في النظام non-GSO في موقع العطبال الثابت بالنسبة إلى مركز الأرض عند الوقت t :

$$\vec{ON}_{i,t} = rot3(-\Omega_{i,t}) \cdot rot1(-I_i) \cdot rot3(-\omega_{i,0}) \cdot \vec{r}_{i,t}$$

$rot1(\alpha)$: الدوران حول المحور x

$$rot1(\alpha) = \begin{bmatrix} 1 & 0 & 0 \\ 0 & \cos\alpha & \sin\alpha \\ 0 & -\sin\alpha & \cos\alpha \end{bmatrix}$$

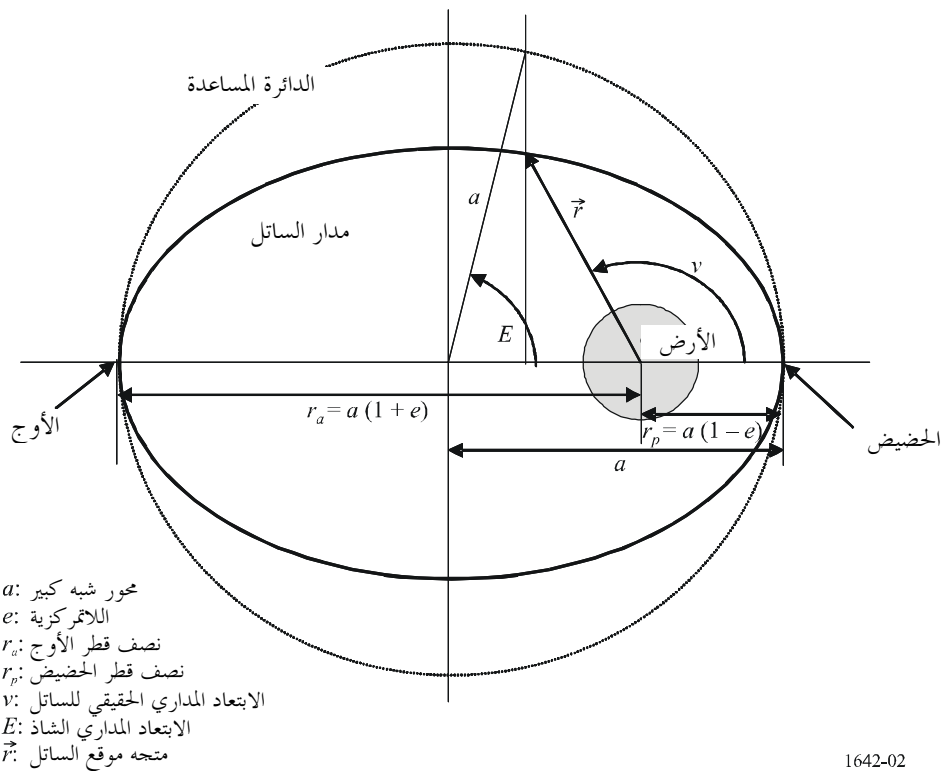
$rot3(\alpha)$: الدوران حول المحور z

$$rot3(\alpha) = \begin{bmatrix} \cos\alpha & \sin\alpha & 0 \\ -\sin\alpha & \cos\alpha & 0 \\ 0 & 0 & 1 \end{bmatrix}$$

$$\vec{r}_{i,t} : \vec{r}_{i,t} = r_{i,t} \begin{bmatrix} \cos v_{i,t} \\ \sin v_{i,t} \\ 0 \end{bmatrix} = \frac{a(1-e^2)}{1+e_i \cdot \cos v_{i,t}} \cdot \begin{bmatrix} \cos v_{i,t} \\ \sin v_{i,t} \\ 0 \end{bmatrix}$$

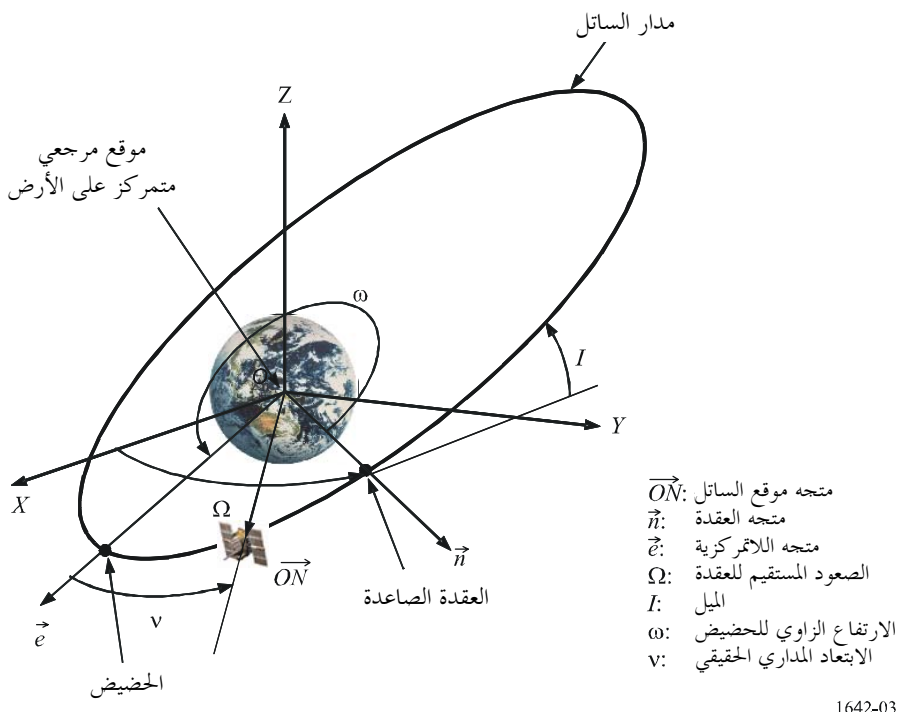
الشكل 2

المعلمات الهندسية المرتبطة بالمدار الإهليجي في المستوى البؤري



الشكل 3

المعلمات الهندسية المرتبطة بالمدار الإهليجي في إطار التنسيق ECI



ويمكن الأخذ بالتشوش non-GSO في حساب الثوابت المتعلقة بالكوكبة non-GSO، طالما أن موقع السواتل قد يتغير عندما يؤخذ التشوش في الاعتبار.

3.1.2 ثوابت تتعلق بالمحطة ARNS

: خط عرض المحطة ARNS (rad) Lat

: خط طول المحطة ARNS (rad) Lon

: ارتفاع المحطة ARNS (km) h_{ARNS}

: إحداثيات المحطة ARNS في نظام إحداثيات بالعطلة مركز حول الأرض \vec{OM} :

$$\vec{OM} = \begin{cases} X = (R_e + h_{ARNS}) \cos(\text{Lat}) \cos(\text{Lon} + \Omega_e t) \\ Y = (R_e + h_{ARNS}) \cos(\text{Lat}) \sin(\text{Lon} + \Omega_e t) \\ Z = (R_e + h_{ARNS}) \sin(\text{Lat}) \end{cases}$$

2.2 معلمات الهوائي

1.2.2 معلمات هوائي المحطة ARNS

يمثل مخطط إشعاع هوائي محطة ARNS معلومة دخل إلى المحاكاة (انظر الملحق 2).

2.2.2 معلمات هوائي المحطة الفضائية لنظام non-GSO

ينبغي، من أجل تحليل التداخلات، نمذجة هوائيات السواتل non-GSO، باستعمال أحد المخططات النموذجية التالية، وذلك حسب التيسير:

- مخطط هوائي مقياس؛
- مخططات هوائي مرجعي مقترن؛
- دالة تخيلية تقوم بنمذجة مخطط إشعاع هوائي سائل في مدار غير مستقر بالنسبة إلى الأرض (non-GSO).

3.2 حساب وقت المحاكاة

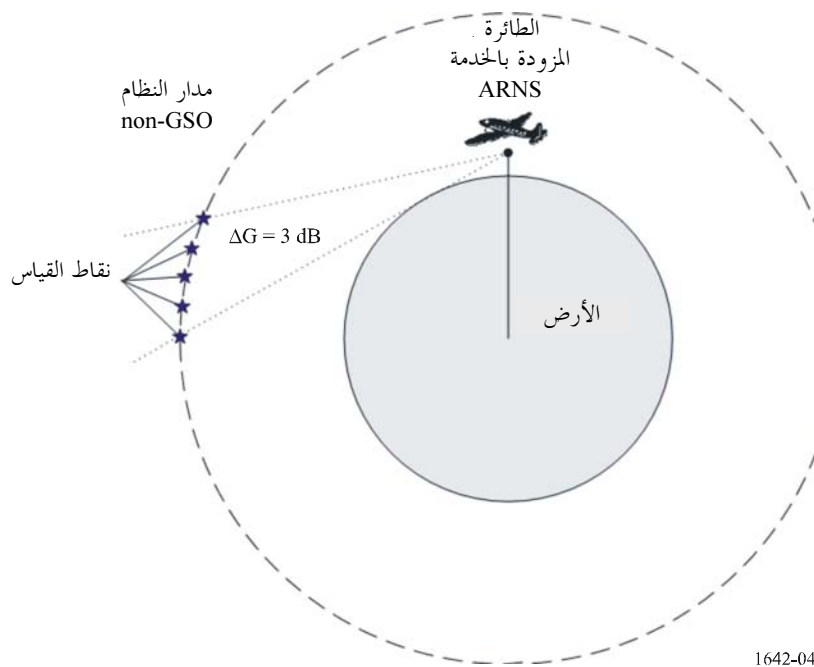
1.3.2 زيادة وقت المحاكاة

ينبغي أن يكون الوقت المخصص للمحاكاة، t_{inc} ، أقصر ما يمكن، وذلك للحصول على نتائج دقيقة. غير أنه ينبغي أن يكون الوقت الإجمالي المكرس للمحاكاة مقبولاً. وللحصول على الدقة المطلوبة، من الضروري حيازة عدد كافٍ من قياسات efd (N_{hits}) عندما تكون المركبة الفضائية non-GSO RSSN قابلة للرؤية انطلاقاً من محطة فضائية ARNS في جزء مخطط إشعاع هوائي الذي يشهد أقصى الكسب. وتعتبر القيمة $N_{hits} = 5$ كافية.

ويحدث أقصى الكسب الذي يمكن رؤيته انطلاقاً من محطة فضائية عند زاوية ارتفاع تتراوح بين -3,54° و+3° (انظر الملحق 2) بالنسبة إلى طائرة تحلىق على ارتفاع 40 000 ft (12 192 m). ومن الضروري حيازة 5 N_{hits} داخل هذا المدى، وهو ما يعني أن زيادة المحاكاة بما قدره 1° يعد كافياً لنمذجة حركة سواتل الكوكبة.

الشكل 4

اعتبارات تتعلق بزيادة وقت المحاكاة



2.3.2 الوقت الإجمالي للمحاكاة

يحدد ساتل ينتمي إلى الكوكبة non-GSO على أي مدار مسيراً على سطح الأرض. وبعد وقت قليل، يختلف بحسب خصائص النظام، يرجع الساتل، أو ساتل آخر ينتمي إلى الكوكبة، إلى نفس النقطة أو إلى نقطة تكاد تكون مماثلة لها. ويمثل الوقت بين هاتين الحالتين فترة تكرار الكوكبة. وتتراوح فترة تكرار الكوكبة بين بضعة أيام وعدة أشهر. ويرد توضيح النتائج الممطية لحساب $epfd$ فيما يتعلق بنظام RNSS أثناء فترة تكرار الكوكبة في الشكل 5.

ويتأثر معدل حركة الدوران في خط الطول لسوائل كوكبة non-GSO بانحرافات خطوط الطول الناتجة عن أخطاء في استبقاء المخطة في موقعها. ويمكن نمذجة هذا التأثير وإدماجه في المحاكاة.

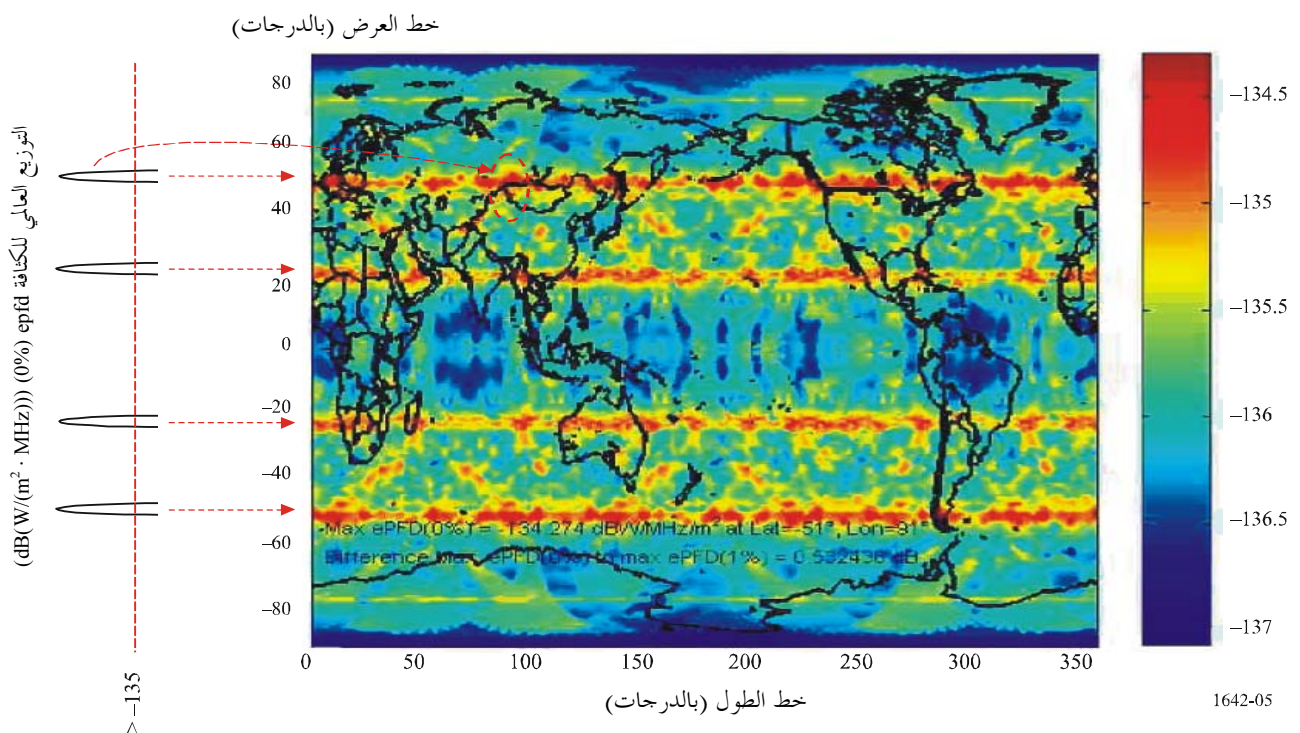
وبالنسبة إلى نظام non-GSO لا تتوفر له فترة تزامن مع الأرض، سيؤدي ذلك التأثير إلى أن تصبح قيمة $epfd$ القصوى بالنسبة إلى خط الطول (بعبارة أخرى، إذا كان ينبغي تمديد المحاكاة كي تغطي كل الحالات الممكنة للكوكبة، ستنتشر "النقاط المرتفعة" لأقصى $epfd$ في الخارطة التي يحتوي عليها الشكل 5 أفقياً لتصبح أحاديد أفقية موحدة). وعليه، يبدو أكثر صحة، بالنسبة إلى كل خطوط العرض، اختيار أقصى $epfd$ عند أي خط طول واستعماله بالنسبة إلى كل خطوط الطول الأخرى. وهذا من شأنه أن يجعل الجدول الذي يحتوي على أقصى $epfd$ بحسب خط العرض وخط الطول إلى مجرد قائمة تحتوي على أقصى قيم $epfd$ بحسب خط الطول.

وإذا تم عمل ذلك، يمكن التقليل من وقت المحاكاة إلى مدار واحد بالنسبة إلى نظام non-GSO لا تتوفر له فترة تزامن مع الأرض. ولا تحتوي "الخارطة" المنتجة بواسطة هذه المحاكاة المحدودة إلا على عدد قليل من "النقاط المرتفعة"، غير أن قيمة "النقاط المرتفعة"، عند كل واحد من خطوط العرض، التي تمثل أقصى قيمة $epfd$ عند أي خط من خطوط العرض، ستظل ثابتة.

ويتضح عن ذلك، أن كمية المعلومات التي ينبغي تقديمها إلى الاجتماع الاستشاري، ستكون محدودة جداً.

الشكل 5

مثال على التوزيع العالمي لقيمة epfd القصوى

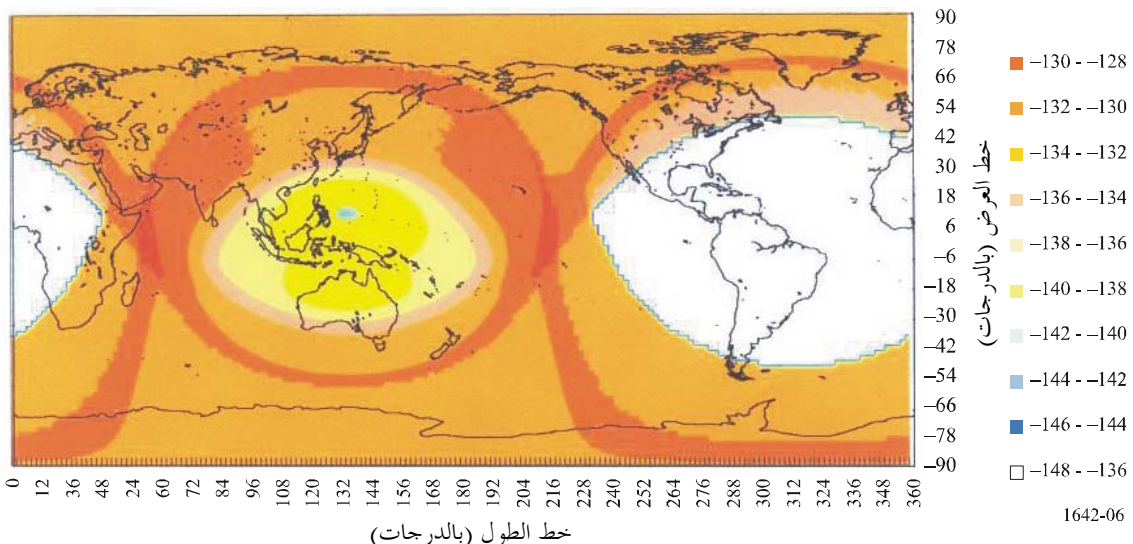


ومن جهة أخرى يحدث النظام non-GSO الذي تتوافر لديه فترة تزامن مع الأرض آثاراً في الأرض تقتصر على مدى محدود من خطوط الطول فوق سطح الأرض. ونتيجة لذلك فإن "النقاط المرتفعة" من أقصى epfd ستظهر فقط في منطقة محدودة من سطح الأرض. (وبعبارة أخرى فإن "النقاط المرتفعة" من أقصى epfd على سطح الأرض لن تنتشر أفقياً). وبناء على ذلك فإن قيمة epfd المتجمعة التي تسببها الأنظمة non-GSO التي تتوافر لها فترة تزامن مع الأرض، ستتحسب لنقاط خطوط العرض والطول داخل مدى الرؤية من النظام non-GSO.

وفي حالة نظام non-GSO تتوافر له فترة تزامن مع الأرض، يمكن إنجاز عملية الحساب استناداً إلى فترة مدارية واحدة. وترتدي في الشكل 6 النتائج النمطية لحساب epfd ينطبق على نظام non-GSO تتوافر له فترة تزامن مع الأرض.

الشكل 6

مثال للتوزيع العالمي للقيمة القصوى $epfd$ بالنسبة إلى نظام non-GSO توافر له فترة ترامن مع الأرض



التدليل 2

للملحق 1

منهجية تحليلية لتقدير قيمة $epfd$ القصوى بالنسبة إلى نظام RNSS واحد يعمل في النطاق 164 - 215 MHz

1 مقدمة

تهدف هذه المنهجية إلى بيان كيفية تقدير قيمة $epfd$ في حالة نظام RNSS واحد. يرد تعريف $epfd$ في الفقرة 1.1 من الملحق 1.

2 وصف المنهجية

إذا افترضنا أن كواكب نظام non-GSO R NSS تشمل عدداً من المستويات المدارية، فإن من المرجح عندئذ أن يوجد، كحد أقصى في أي مستوى معين، ساتل واحد داخل زاوية ارتفاع تتراوح بين 3° و 3.54° لمحظط إشعاع الهوائي للمحطة ARNS (انظر الملحق 2). ومن المرجح، علاوة على ذلك، بالنسبة إلى الأنظمة non-GSO، عندما يكون الكسب الأقصى لمحظط إشعاع هوائي المحطة ARNS مرجياً اطلاقاً من محطة فضائية، سيكون للسوائل الأخرى في نفس المستوى مساهمة محدودة الأهمية نسبياً فيما يتعلق بقيمة $epfd$. وبناء على ذلك فإن عدد السواتل التي يكون إسهامها ضئيلاً في قيمة $epfd$ المتجمعة في نظام R NSS، سيرجح أن يكون أقل من عدد المستويات المدارية للنظام أو مساوياً له. وباستعمال هذه الفرضيات، يمكن للمرء أن يصوغ أقصى قيمة لقدرة $epfd$ الناتجة عن طريق الكوكبة ($epfd_{max}$) non-GSO R NSS كما يلي:

$$epfd_{max} = 10 \log N_p + epfd_{i, max} \quad \text{dB(W/(m}^2 \cdot \text{MHz}))$$

حيث:

العدد الأقصى للسوائل في الحزمة الرئيسية هوائي الاستقبال للمحطة ARNS (وعادة ما يكون عدد المستويات المدارية في الكوكبة) N_p

أقصى مساهمة $epfd$ ينتجها سائل واحد $(dB(W/(m^2 \cdot MHz)))$: $epfd_{i,max}$

3 أمثلة للكوكبة non-GSO

إذا كانت القيمة القصوى للقدرة $epfd$ التي ينتجها سائل واحد $dB(W/(m^2 \cdot MHz))$ 136,9 في حالة كوكبة RNSS non-GSO تحتوي على ستة مستويات، تعادل قيمة القدرة $epfd_{max}$ التي تم الحصول عليها باستعمال المعادلة الواردة في الفقرة 2 ما يلي:

$$epfd_{max} = (-136,9) + 10 \log 6 = -129,12 \quad dB(W/(m^2 \cdot MHz))$$

وإذا كانت القيمة القصوى للقدرة $epfd$ التي ينتجها سائل واحد $dB(W/(m^2 \cdot MHz))$ 130,24- (انظر المعادلة 2) تحتوي على ثلاثة مستويات، يؤدي حساب مماثل إلى أن تكون أقصى $epfd$ متساوية للقيمة $-125,47 \quad dB(W/(m^2 \cdot MHz))$ باستعمال المعادلة الواردة في الفقرة 2.

وتعد هذه القيم قريبة جداً من القيم التي تم الحصول عليها باستعمال طريقة المحاكاة الواردة في التذييل 1 بالملحق 1، مع فارق لا يتجاوز $1,2 \quad dB$.

الملحق 2

خصائص الهوائي المرجعي لخطة ARNS المستعملة لحساب الكثافة $epfd$

1 خصائص هوائي الخطة ARNS

يحتوي الجدول 1 على قيم كسب الهوائي الخاصة بزوايا ارتفاع تتراوح بين -90° و 90° . وينبغي، فيما يتعلق بالقيم التي توجد بين هذه الزوايا في الجدول 1، استعمال استكمال داخلي خطى. وتساوي قيمة $G_{r,max}$ القيمة $3,4 \quad dB$ ، وذلك طبقاً لمواصفات التوصية ITU-R M.1639، بما في ذلك القيمة 2 dB من عدم تواؤم الاستقطاب الدائري - الخطى. ويفترض أن يكون مخطط الارتفاع والكسب متماثل بالنسبة إلى جميع زوايا السمت.

الجدول 1

زاوية الارتفاع (بالدرجات)	كسب الهوائي، بما في ذلك عدم تواؤم الاستقطاب الدائري - الخطى $G_r/G_{r,max}$ (dB)	زاوية الارتفاع (بالدرجات)	كسب الهوائي، بما في ذلك عدم تواؤم الاستقطاب الدائري - الخطى $G_r/G_{r,max}$ (dB)	زاوية الارتفاع (بالدرجات)	كسب الهوائي، بما في ذلك عدم تواؤم الاستقطاب الدائري - الخطى $G_r/G_{r,max}$ (dB)
-90	-17,22	22	-10,72	57	-15,28
-80	-14,04	23	-10,81	58	-15,49
-70	-10,51	24	-10,90	59	-15,67
-60	-8,84	25	-10,98	60	-15,82
-50	-5,40	26	-11,06	61	-16,29
-40	-3,13	27	-11,14	62	-16,74
-30	-0,57	28	-11,22	63	-17,19
-20	-1,08	29	-11,29	64	-17,63
-10	0,00	30	-11,36	65	-18,06
-5	-1,21	31	-11,45	66	-18,48
-3	-1,71	32	-11,53	67	-18,89
-2	-1,95	33	-11,6	68	-19,29
-1	-2,19	34	-11,66	69	-19,69

(يرأينا هذا الجدول من اليسار إلى اليمين)

الجدول 1 (نهاية)

زاوية الارتفاع (بالدرجات)	كسب الهوائي، بما في ذلك عدم تواؤم الاستقطاب الدائري - الخطى $G_r/G_{r,max}$ (dB)	زاوية الارتفاع (بالدرجات)	كسب الهوائي، بما في ذلك عدم تواؤم الاستقطاب الدائري - الخطى $G_r/G_{r,max}$ (dB)	زاوية الارتفاع (بالدرجات)	كسب الهوائي، بما في ذلك عدم تواؤم الاستقطاب الدائري - الخطى $G_r/G_{r,max}$ (dB)
0	-2,43	35	-11,71	70	-20,08
1	-2,85	36	-11,75	71	-20,55
2	-3,26	37	-11,78	72	-20,99
3	-3,66	38	-11,79	73	-21,41
4	-4,18	39	-11,80	74	-21,8
5	-4,69	40	-11,79	75	-22,15
6	-5,20	41	-12,01	76	-22,48
7	-5,71	42	-12,21	77	-22,78
8	-6,21	43	-12,39	78	-23,06
9	-6,72	44	-12,55	79	-23,30
10	-7,22	45	-12,70	80	-23,53
11	-7,58	46	-12,83	81	-23,44
12	-7,94	47	-12,95	82	-23,35
13	-8,29	48	-13,05	83	-23,24
14	-8,63	49	-13,14	84	-23,13
15	-8,97	50	-13,21	85	-23,01
16	-9,29	51	-13,56	86	-22,88
17	-9,61	52	-13,90	87	-22,73
18	-9,93	53	-14,22	88	-22,57
19	-10,23	54	-14,51	89	-22,40
20	-10,52	55	-14,79	90	-22,21
21	-10,62	56	-15,05		

موقع المخطة ARNS

2

ينبغي أن يؤخذ ارتفاع المخطة ARNS عند الحالة الأسوأ (40 000 قدم، أي 192 مترًا)، أي عند الحالة القصوى لاحتمال حدوث تداخل نتيجة وجود هذه السواتل التي قد تسبب التداخل في مجال رؤية هوائي استقبال المخطة ARNS.